

E. V. АНДРОНОВА, E. A. БАГАНОВ, A. Ю. ДАЛЕЧИН,  
A. Ю. КАРМАННЫЙ

Украина, Херсонский гос. технический университет  
E-mail: vk\_74@mail.ru

Дата поступления в редакцию  
24.05 — 06.09 2002 г.

Оппонент к. ф.-м. н. В. В. КОВАЛЬЧУК  
(Южноукраинский пед. ун-т  
им. К. Д. Ушинского, г. Одесса)

## ИСПОЛЬЗОВАНИЕ КВАНТОВЫХ ТОЧЕК InSb В ТЕРМОФОТОВОЛЬТАИЧЕСКИХ ПРЕОБРАЗОВАТЕЛЯХ НА ОСНОВЕ GaSb

*Формирование массива квантовых точек InSb позволяет значительно расширить спектральный диапазон фоточувствительности ТФВ-элементов на основе GaSb.*

В последнее время термофотовольтаика (ТФВ) — технология непосредственного преобразования энергии инфракрасного излучения в электричество — получила интенсивное развитие в связи с совершенствованием технологии полупроводниковых материалов соединений  $A^3B^5$ , в частности, GaSb и твердых растворов на ее основе.

С точки зрения достижения максимальной эффективности ТФВ-систем идеальная ширина запрещенной зоны полупроводникового материала должна составлять 0,5—0,55 эВ при температуре излучателя порядка 1500°C [1]. Однако создание качественных структур на основе объемных материалов с такой шириной запрещенной зоны сопряжено со значительными трудностями, такими как высокие температуры выращивания, большие рекомбинационные потери, широкие области несмешиваемости твердых растворов и т. п.

Один из возможных подходов к повышению эффективности ТФВ-элементов состоит в использовании низкоразмерных структур, поскольку, к примеру, формирование массива самосогласованных квантовых точек узкозонных материалов в широкозонной матрице дает возможность существенного расширения спектра фоточувствительности в длинноволновую область по сравнению с краем поглощения материала матрицы [2].

Целью данной работы является изучение влияния поглощения излучения в квантовых точках InSb на эффективность ТФВ-элементов на основе GaSb и выбор оптимальных размеров квантовых точек для достижения максимальной эффективности.

### Обоснование модели

Система InSb—GaSb характеризуется большим рассогласованием по постоянной решетки (6,1%), что обуславливает рост по механизму Странски—Крастанова и, следовательно, при соответствующих технологических режимах приводит к формированию квантовых точек (КТ) InSb на подложке GaSb. Фор-

Исследования выполнены при финансовой поддержке Фонда гражданских исследований и развития США для независимых государств бывшего Советского Союза (CRDF) по гранту UE2-2225/6561.

ма, размеры и плотность самосогласованных КТ зависит от материалов системы и условий роста [3—5].

Несмотря на то, что в литературе указываются КТ в форме пирамид, конусов дисков или куполов, реальная их форма пока еще полностью не выяснена. Для простоты предположим, что КТ имеют сферическую форму и характеризуются диаметром  $D$ . Такое допущение обосновано тем, что реальные формы КТ могут быть выражены через эквивалентную сферическую форму [6].

Как было сказано выше, движущими силами для спонтанного образования КТ являются механические напряжения, которые изменяют величину разрывов зон и эффективную массу электрона внутри КТ [3, 4, 7]. Хотя для детального рассмотрения напряжения обычно производится его разбиение на изотропную (гидростатическую) и анизотропную составляющие, в данном случае, благодаря сферической форме, важна только изотропная составляющая.

### Методика расчета

Изотропная деформация точки описывается выражением [6, 8]

$$I = 2f \frac{1 - 2\mu}{1 - \mu}, \quad (1)$$

где  $f$  — относительная деформация, связанная с рассогласованием постоянных решеток материалов КТ и матрицы;

$\mu$  — коэффициент Пуассона, приближенно равный 1/3 для материалов  $A^3B^5$ .

В этой связи выражение (1) можно переписать в виде

$$I = f \equiv \frac{a_t - a_m}{a_m}, \quad (2)$$

где  $a_t$  и  $a_m$  — постоянные решетки материалов точки и матрицы, соответственно.

Изменение разрывов в зоне проводимости и валентной зоне под действием деформации происходит на величину

$$\Delta E_C^{\text{напряж}} = a_C I; \quad \Delta E_V^{\text{напряж}} = a_V I, \quad (3)$$

где  $a_C$  и  $a_V$  — деформационные потенциалы зоны проводимости и валентной зоны, соответственно.

Поэтому реальная величина потенциальных барьеров в гетеросистеме с КТ для электронов и дырок соответственно будет составлять:

$$V_e = \Delta E_C + \Delta E_C^{\text{напряж}}; \quad V_h = \Delta E_V + \Delta E_V^{\text{напряж}}, \quad (4)$$

## ТЕРМОФОТОВОЛЬТАИКА

где  $\Delta E_C$  и  $\Delta E_V$  — разрывы в зоне проводимости и валентной зоне в ненапряженной гетероструктуре, соответственно.

Расчет уровней квантования производился из решения стационарного уравнения Шредингера для сферической потенциальной ямы с прямоугольными конечными стенками [6]:

$$k \operatorname{tg} \left( \frac{kD}{2} - \frac{n\pi}{2} \right) = q, \quad (5)$$

где  $k$  — квазиволновой вектор носителя заряда в квантовой точке,  $k = \sqrt{2m_{1e,h}E(k)/\hbar^2}$ ;

$m_{1e,h}, m_{2e,h}$  — эффективные массы носителей заряда в квантовой точке и матрице, соответственно;

$E(k)$  — энергия носителя заряда, зависящая от квазиволнового вектора  $k$ ;

$\hbar$  — постоянная Планка;

$D$  — диаметр квантовой точки;

$n = 2m-1$ ;

$m$  — номер квантового уровня;

$q$  — параметр спада волновой функции за пределами квантовой точки,  $q = [2m_{2e,h}/\hbar^2][V_{e,h}E(k)]$ .

Предельная термодинамическая эффективность ТФВ-элементов на основе гетерокомпозиций с КТ оценивалась с учетом следующих допущений:

1) массив КТ создает дополнительную зону (ДЗ), расположенную в запрещенной зоне материала матрицы (**рис. 1**) [8];

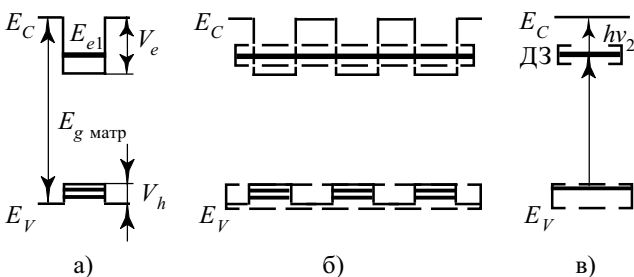


Рис. 1. Схема образования дополнительной зоны (ДЗ) в запрещенной зоне материала матрицы ( $E_g$  матр>):

а — зонная диаграмма отдельной КТ в матрице; б — зонная диаграмма массива КТ; в — результирующая зонная диаграмма гетеросистемы с КТ

2) в результате поглощения фотона образуется только одна электронно-дырочная пара;

3) имеет место только излучательная рекомбинация;

4) все фотоны с энергией, большей ширины запрещенной зоны материала матрицы, поглощаются матрицей;

5) фотоны с энергией, меньшей ширины запрещенной зоны матрицы, могут вызывать оптические переходы как с валентной зоны на ДЗ, так и с ДЗ в зону проводимости материала матрицы.

Предполагалось, что распределение интенсивности излучения источника, имеющего температуру  $T$ , по частоте  $v$  определяется распределением Планка:

$$\varepsilon(v, T) = \frac{2\pi v^2}{c^2} \frac{hv}{\exp\left(\frac{hv}{k_0 T}\right) - 1}, \quad (6)$$

где  $c$  — скорость света в вакууме;

$h = 2\pi\hbar$ ;

$k_0$  — постоянная Больцмана.

При этом поток фотонов определяется выражением

$$\dot{N}(\varepsilon) = \frac{\varepsilon(v, T)}{hv}, \quad (7)$$

а вероятность поглощения фотона в приближении прямых переходов —

$$p \sim \frac{\sqrt{(hv - \Delta E)}}{hv}, \quad (8)$$

где  $\Delta E$  — энергия возбуждения оптического перехода.

Поглощение излучения в массиве КТ приводит к выделению на выходе ТФВ-элемента дополнительной мощности:

$$\Delta P_{\text{вых}} = JU_{xx}, \quad (9)$$

где  $J$  — плотность тока носителей, генерируемых в результате фотоактивного поглощения излучения массивом КТ;  $U_{xx}$  — напряжение холостого хода.

Тогда прирост эффективности ТФВ-элемента определяется соотношением

$$\Delta \eta = \Delta P_{\text{вых}} / \sigma T^4, \quad (10)$$

где  $\sigma$  — постоянная Стефана—Больцмана.

Из выражений (6)–(10) получаем:

$$\Delta \eta \sim \int_{\Delta E_i}^{\Delta E_{i+1}} \frac{E \sqrt{E - \Delta E}}{\exp\left(\frac{E}{k_0 T}\right) - 1} dE, \quad (11)$$

где  $\Delta E_i, \Delta E_{i+1}$  — соответственно энергия возбуждения рассматриваемого и следующего по  $\Delta E$  оптического перехода, определяемая диаметром КТ;

$E = hv$  — энергия фотона.

### Результаты и обсуждение

Учет механических напряжений для гетеросистемы InSb—GaSb с КТ InSb показал, что в случае помещения КТ в матрицу GaSb, легированную донорной примесью, потенциальные барьеры в квантовой яме обеспечивают только локализацию дырок (**рис. 2, а**, F — энергия уровня Ферми). Если же матрица GaSb легирована акцепторной примесью, то в потенциальной яме возможна локализация только электронов (рис. 2, б).

В **табл. 1** представлены результаты расчетов энергии оптических переходов в зависимости от диаметра КТ InSb при различных уровнях легирования матрицы  $n$ -GaSb, а в **табл. 2** — для КТ InSb, сформированных в матрице  $p$ -GaSb.

Анализ таблиц показывает, что энергия оптического перехода с первого квантового уровня дырок на уровень, соответствующий дну зоны проводимости матрицы, ( $1h - E_C$ ) слабо зависит от уровня легирования матрицы  $n$ -GaSb. Что же касается перехода с участием второго квантового уровня  $2h - E_C$ , то его энергия практически не зависит от концентрации легирующей примеси в матрице. При изменении типа проводимости материала матрицы на дырочный спектр состояний для дырок в КТ становится кванзинепрерывным. В этом случае возможными являются переходы с энергетических уровней, расположенных вблизи потолка валентной зоны, на квантовые уровни электронов ( $E_V - 1e, E_V - 2e$ ). При этом наблюдается

## ТЕРМОФОТОВОЛЬТАИКА

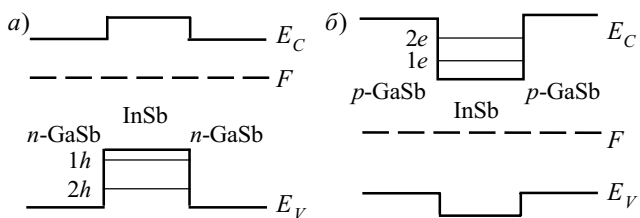


Рис. 2. Зонные диаграммы гетеросистем с квантовыми точками InSb в матрице n-GaSb (а) и p-GaSb (б)

Таблица 1  
Энергии возможных оптических переходов в КТ InSb  
в матрице n-GaSb

D, нм	Энергия оптических переходов, эВ					
	1h— $E_C$	2h— $E_C$	1h— $E_C$	2h— $E_C$	1h— $E_C$	2h— $E_C$
	$n=10^{15} \text{ см}^{-3}$	$n=10^{16} \text{ см}^{-3}$	$n=10^{17} \text{ см}^{-3}$	$n=10^{15} \text{ см}^{-3}$	$n=10^{16} \text{ см}^{-3}$	$n=10^{17} \text{ см}^{-3}$
5	0,500	0,548	0,501	0,548	0,502	0,548
7	0,463	0,482	0,464	0,482	0,465	0,482
10	0,440	0,447	0,440	0,447	0,441	0,447
15	0,427	0,429	0,427	0,429	0,427	0,429
20	0,421	0,422	0,421	0,422	0,421	0,422

Таблица 2  
Энергии возможных оптических переходов в КТ InSb  
в матрице p-GaSb

D, нм	Энергия оптических переходов, эВ					
	$E_V—1e$	$E_V—2e$	$E_V—1e$	$E_V—2e$	$E_V—1e$	$E_V—2e$
	$p=10^{15} \text{ см}^{-3}$	$p=10^{16} \text{ см}^{-3}$	$p=10^{17} \text{ см}^{-3}$	$p=10^{15} \text{ см}^{-3}$	$p=10^{16} \text{ см}^{-3}$	$p=10^{17} \text{ см}^{-3}$
7	0,405	—	0,424	—	0,439	—
10	0,351	—	0,359	—	0,365	—
15	0,276	0,345	0,279	0,345	0,281	0,345
20	0,237	0,267	0,238	0,267	0,239	0,267

ся сильная зависимость энергии оптического перехода  $E_V—1e$  от концентрации акцепторов в матрице GaSb.

На рис. 3 представлены зависимости прироста эффективности ТФВ-элементов от диаметра КТ InSb в матрице n-GaSb и p-GaSb для наиболее распространенного уровня легирования базовой области  $1\cdot10^{17} \text{ см}^{-3}$  при температуре источника излучения  $1500^\circ\text{C}$  (за единицу по оси ординат принят максимальный прирост эффективности для КТ в матрице n-GaSb).

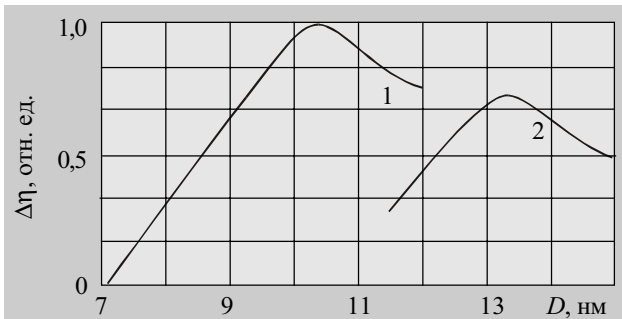


Рис. 3. Зависимость прироста эффективности ТФВ-элементов от диаметра квантовых точек InSb в матрице GaSb:  
1 — матрица n-GaSb; 2 — матрица p-GaSb

Из рисунка следует, что оптимальный диаметр КТ, при котором эффективность ТФВ-элемента достигает максимума, составляет порядка 10 нм для матрицы электронного типа проводимости и 13 нм для матри-

цы p-GaSb. Кроме того, при равных прочих условиях формирование массива КТ в матрице n-GaSb позволяет достичь большей эффективности преобразования по сравнению с матрицей дырочного типа проводимости. Это связано с тем, что использование гетеросистем с КТ InSb в матрице n-GaSb обеспечивает оптимальные для ТФВ-элементов энергии оптических переходов в диапазоне 0,5—0,55 эВ (см. табл. 1).

Следует также отметить, что рассчитанные оптимальные размеры КТ являются реально достижимыми как для стандартных технологий получения квантоворазмерных структур (молекулярно-лучевая epitаксия, осаждение из паров металлоганических соединений), так и для методов жидкофазной epitаксии, например, метода импульсного охлаждения насыщенного раствора-расплава [9].

### Выводы

Таким образом, формирование массива квантовых точек InSb позволяет значительно расширить спектральный диапазон фоточувствительности ТФВ-элементов на основе GaSb, что приводит к увеличению их эффективности. С точки зрения достижения оптимального для ТФВ-элементов диапазона энергий оптических переходов (0,5—0,55 эВ) предпочтительным является создание системы КТ в базовой области структуры, легированной донорной примесью, на расстоянии порядка диффузационной длины неосновных носителей заряда.

Расчет термодинамической эффективности ТФВ-элемента с КТ показал, что при уровне легирования материала матрицы  $n=1\cdot10^{17} \text{ см}^{-3}$  и температуре источника излучения  $1500^\circ\text{C}$  оптимальный диаметр КТ составляет порядка 10 нм.

### ИСПОЛЬЗОВАННЫЕ ИСТОЧНИКИ

- Coutts T. J., Wanlass M. W., Ward J. S., Johnson S. A review of recent advances in thermophotovoltaics / Proc. of 25th PVSC, Washington, May 13—17, 1996.— P. 25—30.
- Rohr C., Connolly J. P., Barnham K. W. J. et al. InGaAsP quantum well cells for thermophotovoltaics / Pre-print copy of Proc. of 2nd Word Conf. and Exhibition on PV Solar Energy Conversion.— Vienna, July 6—10, 1998.
- Bimberg D., Grundmann M., Ledenstov N. N. Quantum dot heterostructures.— London: John Wiley & Sons, 1999.
- Sugawara M. Self-assembled InGaAs/GaAs quantum dots.— London: Academic Press, 1999.
- Bimberg D., Ledenstov N. N., Grundmann M. et al. InAs—GaAs quantum pyramide lasers: in situ growth, radiative lifetimes and polarizations properties // Jpn. J. Appl. Phys.— 1996.— Vol. 35, part 1, N 2B.— P. 1311—1319.
- Евтихиев В. П., Константинов О. В., Матвеенцев А. В., Романов А. Е. Излучение света полупроводниковой структурой с квантовой ямой и массивом квантовых точек // ФТП.— 2002.— Т. 36, вып. 1.— С. 79—86.
- Grundmann M., Stier O., Bimberg D. InAs/GaAs pyramidal quantum dots: strain distribution, optical phonons and electronic structure // Physical Review B.— 1995.— Vol. 52, N 16.— P. 11969—11981.
- Cuadra L., Marti A., Luque A. et al. Strain considerations for the design of the quantum dot intermediate band solar cell in the  $\text{Ga}_x\text{In}_{1-x}\text{As}/\text{Al}_y\text{Ga}_{1-y}\text{As}$  material system / Pre-print copy of Proc. of 17th European PV Solar Energy Conf. and Exhibition.— Munich, October 22—26, 2001.
- Кулюткина Ф., Марончук И. Е., Шорохов А. В. Выращивание субмикронных слоев при импульсном охлаждении насыщенного раствора-расплава // Письма в ЖТФ.— 1995.— Т. 21, вып. 20.— С. 1—5.